核电厂智能主动型隔振支架设计研究

詹敏明 夏 栓 武心壮

(上海核工程研究设计院有限公司 上海 200233)

摘要, 管系振动是核电厂常见问题之一、管系振动对核电厂的危害极大。本文采用自适应前馈控制算法、 完成智能主动型隔振支架的设计和制造、搭建隔振支架性能试验台架、完成支架的隔振性能研究。通过智 能主动型隔振支架的研究,得出智能主动型隔振支架既能够满足核电厂支架抗震功能的要求,又能很好地 切断管系振动能量的传播、避免管系振动传递到墙体上、具有良好的隔振效果。

关键字: 隔振支架; 主动控制; 自适应前馈控制

0 引言

在工业领域,管系振动是常见的问题之一,引起 管系振动的原因很多,例如流致振动、设备旋转等。 振动对管系的危害极大,不但能够引起材料疲劳,还 能引起振动和噪声污染,影响工作人员身心健康。在 民用工业中, 常采用如橡胶、弹簧等材料制成的隔振 支架安装在管道上,削弱振动能量的传递,切断传播 路径。

在核电厂中很少采用传统材料的隔振支架。一方 面是因为隔振材料的物理属性限制,例如橡胶在高温、 高湿、辐射等核电厂环境中长期服役;另一个方面是核 电厂的管道通常具备抗震功能,而且传统的隔振支架 的刚度和强度差,不能满足核电厂的管系在地震工况 下不发生功能破坏或结构破坏的抗震要求。

本文以国内某型核电站主蒸汽管道流致振动引起噪 声的问题为背景,开展智能主动型隔振支架的设计研 究,该支架同时具备抗震功能和隔振功能,既在核电厂

足够的刚度和强度避 免管系发生破坏,又 能在核电厂正常运行 工况下提供隔振功能 减少振动能量传递到 厂房结构中。

1 方案设计

1.1 设计原理

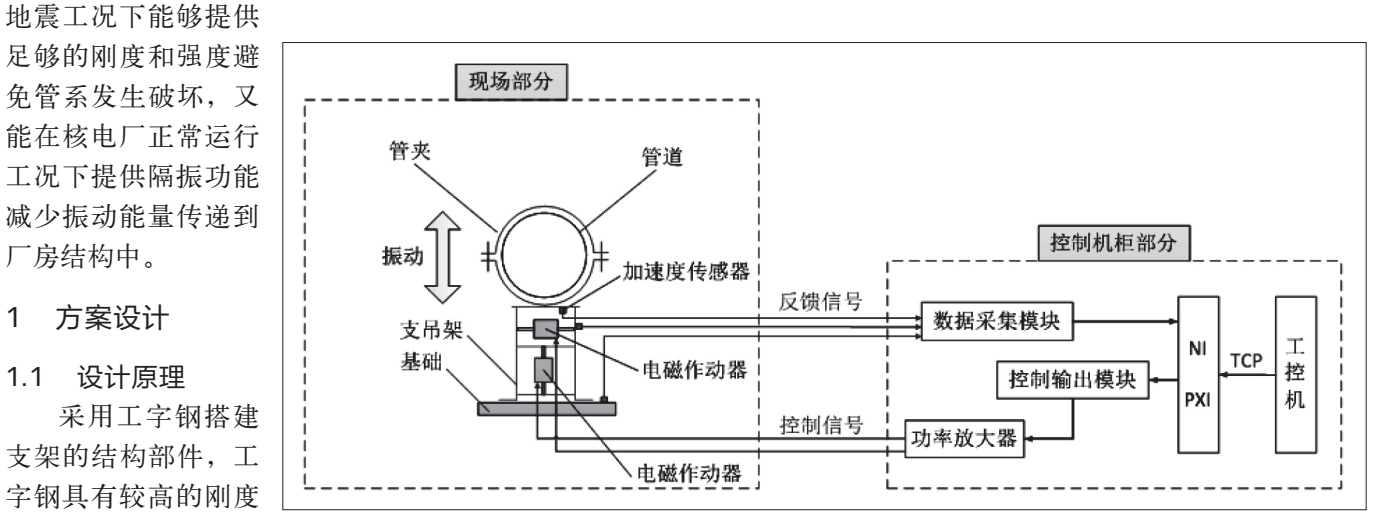
采用工字钢搭建 支架的结构部件, 工 字钢具有较高的刚度 作为管道抗震支架的主要材料,因此采用工字钢制造 的隔振支架能够具备抗震功能。

在支架内部的工字钢构件上安装两组电磁作动器 和加速度传感器,方向分别与管道截面两个方向相同。 当管道振动传递到支架上时,加速度传感器将实时振 动信号传递到处理器,处理器分析后产生执行信号到 电磁作动器, 电磁作动器将自身振动利用惠更斯定律 加以抵消。原理框图如图 1 所示。

智能主动型隔振支架分为现场部分和控制机柜部 分,现场部分安装在管道上,主要包含支架、作动器和 传感器,控制机柜部分布置在环境条件较好的电气间, 主要包含数据采集、处理和输出模块。

1.2 控制算法

自适应控制算法主要是基于自适应滤波的前馈控 制。前馈控制具有实现简单、稳定性好的优点,在能 获得与初级压力脉动波相关性好的参考信号的情况下, 智能主动型隔振支架的控制算法采用自适应前馈控制 算法。



和强度,在核电厂中 图 1 智能主动型隔振支架原理框图

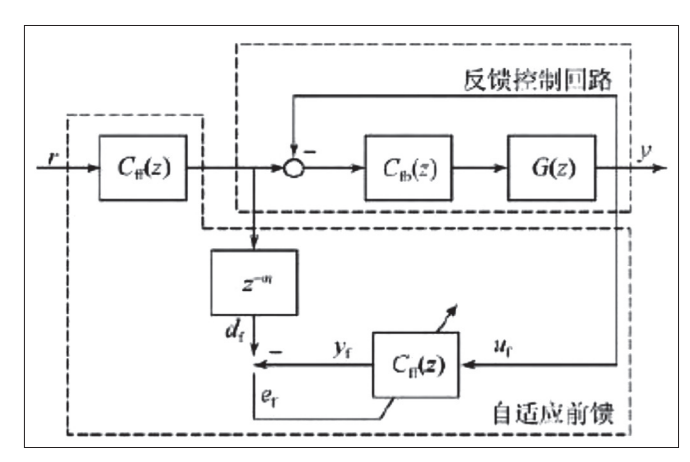


图 2 自适应前馈控制框图

自适应前馈控制(Adaptive Feed-forward Control) 是指在没有干预的情况下,随着运行环境改变而自动 调节自身控制参数,根据扰动或给定值的变化按补 偿原理来工作,以达到最优控制的控制方法,如图 2 所示。

自适应前馈控制的算法主要公式如下:

$$\begin{cases} y_i(n) = \sum_{l=0}^{L-1} w_{i,l} x(n-l) \\ e_j(n) = d_j(n) - s_{ij}(n) * y_i(n) \\ \omega_i(n+1) = \omega_i(n) + \mu_i \sum_{j=1}^{10} X'_{ij}(n) e_j(n) \\ X'_{ij}(n) = [x'_{ij}(n), x'_{ij}(n-1), \dots, x'_{ij}(n-L+1)]^T \\ x'_{ij}(n) = \sum_{h=0}^{H-1} \hat{s}_{ij,h} x(n-h) \end{cases}$$

选择支架与管道连接处的加速度作为控制器的输入信号,通过自适应调节构建一个FIR滤波器,输入信号通过该滤波器后产生的信号即为控制器输出的控制信号,该信号经过功率放大器后驱动电磁作动器工作。线性FIR滤波器的调节是以实现误差信号能量最小为

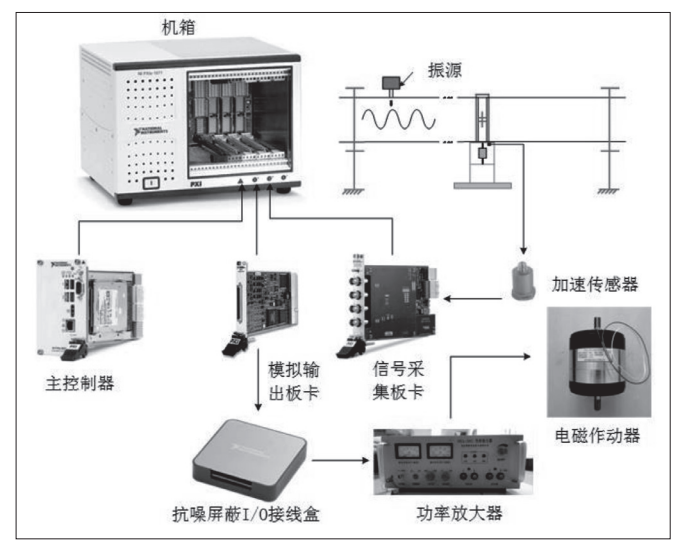


图 3 硬件系统结构图

目标的,该调节过程基于 LMS 算法实现。

1.3 硬件系统

根据图 1 的原理框图,智能主动型隔振支架的控制系统组要由加速度传感器、信号采集板卡、主控制器、模拟输出板卡、功率放大器和电磁作动器等硬件组成,硬件系统结构如图 3 所示。

控制系统的主要硬件参数如表所示。

表 主要硬件参数

序号	硬件	参数
1	电磁作动器	最大作用力 120N,频率范围 0~2.4kHz,最大振幅 ±5mm
2	加速传感器	灵敏度 50mV/g,量程 100g,频率 响应 0.5~5kHz
3	主控制器	2.6GHz,双核 i3 处理器
4	信号采集板卡	24 位,4 通道,最大更新速率 205kS/s,内置 IEPE 激励电路
5	模拟输出板卡	12 位, 4 通道, 最大更新速率 1MS/s, 输出电压范围 ±10V
6	功率放大器	最大输出电压 35V,最大输出电流 10A,输入信号 -5V~+5V
7	抗噪声屏蔽 I/O 盒	SCB-68A 接线盒

表中的硬件参数基本能够覆盖核电厂管道振动的 频率范围,智能主动型隔振装置的适用频率范围为 50~500Hz的管道振动。

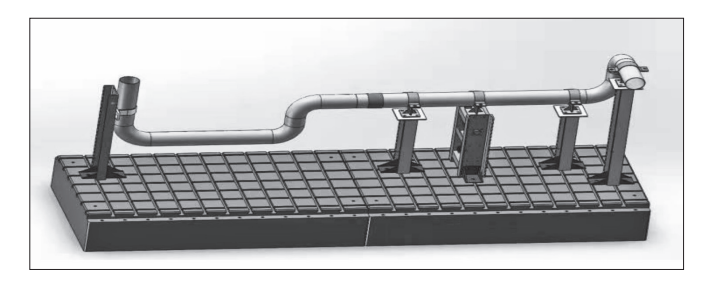


图 4 试验台架三维示意图



图 5 安装完成的试验台架

2 隔振性能试验

2.1 试验台架

隔振性能试验台架包括一段管道和数个支架,以及 一个振动发生器,振动发生器采用电磁激振器模拟管道





图 6 隔振支架和控制系统机柜

振动, 试验台架能够模拟 50 ~ 500Hz 频率的管道振动。 试验台架三维示意图如图 4 所示。

将隔振支架安装在试验台架上,并连接控制系统,试验台架实物图如图 5 所示。

试验台架中,安装完成的隔振支架和调试完成控制系统机柜,如图6所示。

2.2 隔振试验

隔振支架性能试验是设备开启前后,隔振支架地面附近的振动变化。测试内容包括三个部分:国内某型核电厂管道振动频率189Hz下隔振效果;低振动加速度(0.1g)工况下的隔振效果;50~500Hz频率范围的隔振效果。

2.2.1 189Hz 振动频率下的 隔振效果 激振器设置为竖直方向,激振力输出为 100N,频率为 189Hz,隔振性能测试结果如图 7 所示。

在 189Hz 管道振动频率下,隔振支架的时域隔振效果为 3.5dB,频率隔振效果为 10.3dB,试验结果显示隔振支架具有很好的隔振效果。

2.2.2 0.1g 振动加速度下的隔振效果

激振器设置为竖直方向,激振力输出为 10N,实测管道振动加速度约为 0.1g,频率为 189Hz,隔振性能测试结果如图 8 所示。

振动频率 189Hz 不变,振动加速度为 0.1g 时,隔 振支架的时域隔振效果为 1.8dB,频率隔振效果为 2.7dB。试验结果表明低振动加速度工况下,隔振支架的隔振效果降低,原因一方面是由于支架安装的间隙 导致了控制系统敏感度降低,另一方面是由于支架的 刚度大,低幅振动工况下隔振支架的电磁作动器的效率降低。

2.2.3 50~500Hz 频率振动下的隔振效果

激振器设置为竖直方向,激振力输出为 100N,在 50~500Hz 频率范围扫频测试,隔振性能测试结果如图 9 所示。

3 结语

通过对智能主动型隔振支架的设计和性能试验研究,可以得出结论:隔振支架不但满足核电厂支架的抗震功能要求,同时也能够有效切断管道振动能量的传

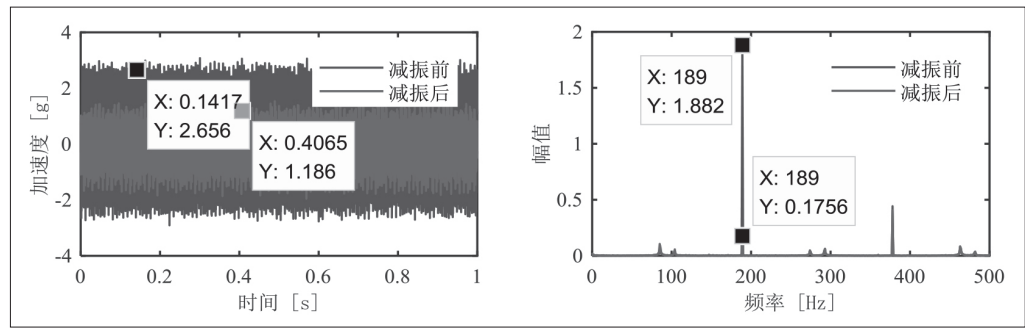
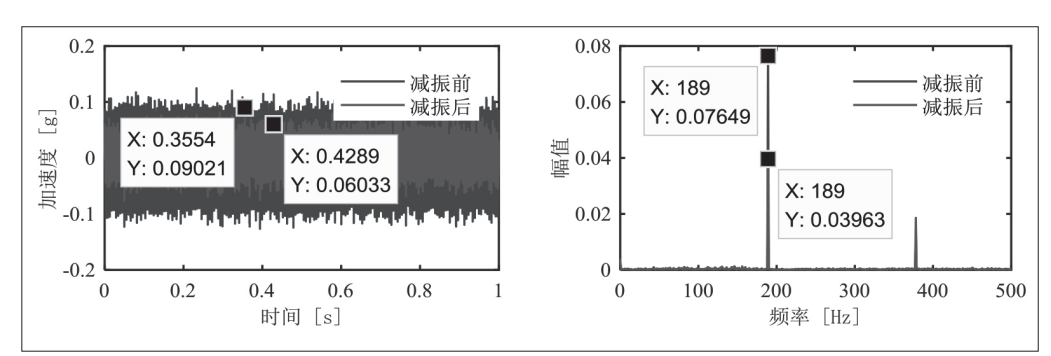


图 7 189Hz 激励下时域曲线和频域线谱隔振效果



2.2.1 189Hz 振动频率下的 图 8 0.1 振动加速度下时域曲线和频域线谱隔振效果

(下转第23页)

CFX 软件对其进行了流场数值模拟,采用瞬态分析方法,探讨了转速差对离心机分离过程和速度场的影响规律。结果表明:

- (1)转速差对固相颗粒的沉降过程影响很小,但转速差对卸料过程影响显著,一方面,如果转速差过小会造成固相颗粒在转鼓柱段和锥段交界处堆积,降低了离心机分离效率,另一方面,转速差过大会缩短固相颗粒在锥段的脱水时间,造成沉渣含湿量高,降低分离效率。
- (2)转速差的增大使液相的周向速度和轴向速度均 略有减小,但影响很小。因此,在理论研究中可以将 螺旋叶片对离心机转鼓流场的影响简化为为流体提供 了螺旋形状的流动通道。

参考文献:

[1]American A O D E. Shale Shakers and Drilling Fluid Systems: Techniques and Technology for Improving Solids Control Management[M]. Salt

Lake City: Godin Lyttle press, 2008.

[2]Fernández X R, Nirschl H. Multiphase CFD Simulation of a Solid Bowl Centrifuge[J]. Chemical Engineering & Technology, 2009, 32(5):719-725.

[3] Fernández X R, Nirschl H. Simulation of Particles and Sediment Behaviour in Centrifugal Field by Coupling CFD and DEM[J]. Chemical Engineering Science, 2013.94:7-19.

[4] 刘洪斌,张艺豪,刘力,等.基于流固耦合的LW350 离心机适应性分析[J].石油机械,2020,48(4):83-90.

[5] 徐倩, 孟繁如, 刘洪斌, 等. 钻井液离心机转鼓内流场的数值分析 [J]. 石油机械, 2009, 37(8): 24-27.

作者简介: 李一岚(1988.01-), 女, 汉族, 四川达州人, 博士, 讲师, 研究方向: 钻井液固相控制、流体机械。

(上接第19页)

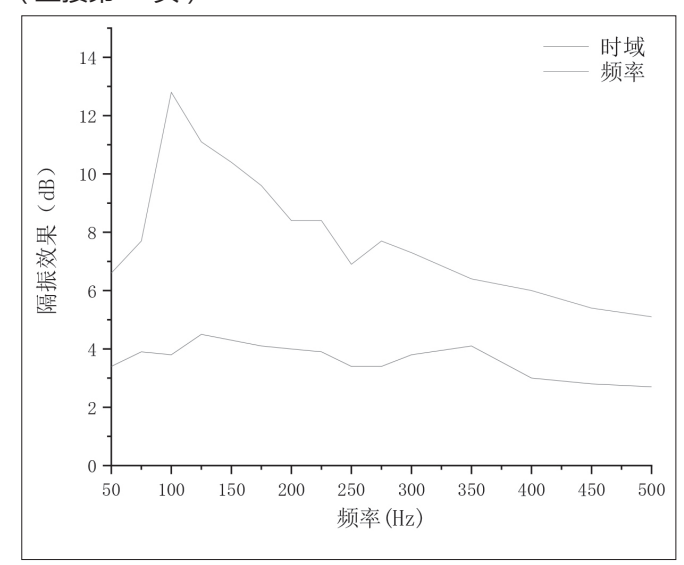


图 9 50~500Hz 频率时域曲线和频域线谱隔振效果

递,避免管道振动传递到墙体,起到隔振功能。

对于 50~500Hz 频率的管道振动,智能主动型隔振 支架都具有很好的隔振效果,振动频率适用范围很广。 但是智能主动型隔振支架也存在不足,对于低振幅的 管道振动,隔振效果有较大幅度的降低。

参考文献:

- [1] 田晓耕.陈儒.支架振动的主动控制研究[J].固体力学学报.1998.19(2):5.
- [2] 张庆伟. 俞翔. 杨理华. 反馈式多线谱主动隔振控制算法研究 [J]. 中国舰船研究,2021,16(6):132-139.
- [3] 刘锦春,何其伟,朱石坚,等. 一种反馈式自适应 振动控制方法研究[J]. 振动与冲击,2016,35(16):8.
- [4] 王东升,周桐,李健.振动、冲击环境下支架减振器刚度优化设计[J]. 航天器环境工程, 2006, 23(2): 86-89.
- [5] 葛健全, 唐乾刚, 雷勇军. 减振支架结构随机响应的灵敏度分析 [C]. 首届全国航空航天领域中的力学问题学术研讨会, 2004.
- [6] 赵德全, 孙明昌, 王大伟. 机械压力机低频隔振支撑改进方法与应用[J]. 锻造与冲压, 2017(12):4.